

V tomto příkladu chceme v rájemně porovnat průběh tří funkcí, a sice (a) $y = \frac{x}{1+x}$;
 (b) $y = \log(1+x)$ a (c) $y = x$. Řešení příkladu je velmi jednoduché. Vygenerujeme posloupnost
 bodů (x, y) a pro každý bod posloupnosti vypočítáme hodnotu podle přepisu funkce (a), resp.
 (b), či (c). Následně vyreslím křivky těchto tří funkcí (jednak pro všechny roviny $x \in (0-5)$
 a $y \in (0-5)$ a potom pro níže, tj. pro rovniny $x \in 0-0.05$ a pro rovniny $y \in 0-0.05$).
 Křivky rájemně porovnáme.

`x <- seq(...)` ... posloupnost od 0 do 5 o délce minimálně 512. ($d = 512$)

$y1 \leftarrow \dots$ vektor hatnos $\frac{x}{x+1}$ ($d=512$)

$y2 \leftarrow \dots$ rektor hochst $\log(x+1)$ ($d=512$)

$y_3 \leftarrow \text{vektor_hadnot} \times (d=512)$

```
plot(x, y1, type='n', xlim=c(0,5), ylim=c(0,5), las=1, ylab=... ) ... para  
mostrar los
```

`lines(x, y1, col = ..., lwd = ..., lty = ...)` křivka $y = \frac{x}{x+1}$ (např. červená) pravidelného grafu

`lines(x, y2, ...)` ... kírka $y = \log(x+1)$ (mapi. modra')

lines(...) ... křivka $y = x$ (např. reálná) vektor barev čar vektor popisku legendy

`plot(x,y3, xlim=c(0,0.05), ylim=c(0,0.05), ...)` ... píšeme prázdného

`lines(x, y1, ...)` ... kivika $y = \frac{x}{x+1}$

lines (...) ... kivika $y = \log(1+x)$

lines (...) ... kirkka $y = x$

legend(...) ... legenda

Závěr: Z grafu vidíme, že $\frac{x}{1+x} \leq \log(1+x) \leq x$.

Pomámkou: Uvedenou nerovnost $\frac{x}{1+x} \leq \log(1+x) \leq x$, jejíž platnost je možno v tomto příkladu graficky ověřit, vyřijeme ve 3. článku při porovnání klasických statistik U_S , U_W a U_{LR} testu o μ , když σ^2 není známo.

V tomto příkladu chceme graficky porovnat konvergenci Studentova rozdělení t_n ke standardizovanému normálnímu rozdělení $N(0,1)$ pro $n \rightarrow \infty$. Konvergenci visualizujeme pomocí animace. Nejdříve vygenerujme funkci `normalni_student(n)`, jejímž vstupem bude počet stupňů volnosti Studentova rozdělení t_n , a následně bude dvojice grafů vykreslených vedle sebe. Na levém grafu bude robařena křivka hustoty rozdělení $N(0,1)$ a rozdělení t_n , na pravém grafu bude robařena křivka distribuční funkce rozdělení $N(0,1)$ a rozdělení t_n . Funkci `normalni_student()` mášťodní povídajeme k horizontální animaci.

porovnávání rozdílu argument funkce

`normalni_student <- function(n) {`

`mu <- ... parametr je rozdělení $N(0,1)$`

`sigma <- ... parametr σ rozdělení $N(0,1)$`

`xfit <- seq(...) ... posloupnost x od -3 do 3 o délce 512`

`yfit <- dnorm(xfit, mean = ..., sd = ...) ... hustota rozdělení $N(0,1)$ nad posl. xfit (d=512)`

`zfit <- dt(xfit, df = ...) ... hustota rozdělení t_n nad posl. xfit (d=512)`

`par(mfrow = c(1,2), mar = c(...)) ... rozdělení obrazku na 2 okna vedle sebe + otočení 5,4,2,1`

`plot(xfit, yfit, type = 'l', ylim = c(0,0.5), xlab = ' ', ylab = ...,`

`col = ..., lwd = ..., las = ...) ... graf s křivkou hustoty $N(0,1)$ (např. modrá)`

`lines(xfit, zfit, ...) ... křivka hustoty t_n (např. červená)`

`mtext('x', side = 1, line = 2.5) ... popisek osy x`

`mtext(paste('n = ', n), ...) ... druhý popisek osy x (n = ...); automatická aktualizace hodnoty podle parametru n`

`legend(..., lty = ..., col = ..., legend = ..., bty = ...) ... legenda`

`yfit <- pnorm(...) ... diskr. funkce rozdělení $N(0,1)$ nad posl. xfit (d=512)`

`zfit <- pt(...) ... diskr. funkce rozdělení t_n nad posloupností xfit (d=512)`

`plot(xfit, yfit, ...) ... graf s křivkou diskr. funkce $N(0,1)$ (např. modrá)`

`lines(...) ... křivka diskr. funkce rozdělení t_n (např. červená)`

`mtext(...) ... popisek osy x`

`mtext(...) ... druhý popisek osy x (n = ...); automatická aktualizace hodnoty podle parametru n`

`legend(...) ... legenda`

`n <- seq(...) ... posloupnost 5, 10, 50, 100, 500, 1000`

`oopts <- ani.options()`

`ani.record(reset = T) ... vymazání předešlých grafů z paměti`

`SaveLatex(for(i in 1:length(n)){ ... cyklus pro vykreslení obrazku animace`

`normalni_student(n = n[i])`

`}, ...)` ... animace

Závěr: Z příštější animace vidíme, jak se pro $n \rightarrow \infty$ blíží kvar křivky hustoty (resp. distribuční funkce)

Studentova rozdělení t_n k kvar křivky hustoty (resp. distribuční funkce) rozdělení $N(0,1)$.

V tomto příkladu si graficky ověříme tři vztahy, se kterými se setkáte na přednáškách z S1-11.

$$(1) \chi^2_1(1-\alpha) = (u_{1-\alpha/2})^2$$

$$(2) F_{1,n}(1-\alpha) = (t_n(1-\alpha/2))^2$$

$$(3) \chi^2_n(1-\alpha) = \Gamma_{\frac{n}{2}, 2}(1-\alpha)$$

$n=10$

Rěšíme příkladu si demonstrujeme na situaci (1). Nejprve vytváříme posloupnost hodnot (*alpha*) z intervalu (0.01; 0.99). Dále pro každou hodnotu posl. *alpha* vypočítáme hodnotu $(1-\alpha)$ -kvantilu χ^2 rozdělení o 1 stupni volnosti, tj. $\chi^2_1(1-\alpha)$ a hodnotu druhé močiny $(1-\alpha/2)$ -kvantilu rozdělení $N(0,1)$, tj. $(u_{1-\alpha/2})^2$. Následně vykreslíme graf, kde na osi x bude posloupnost *alpha* a na osi y posloupnost hodnot kvantili $\chi^2_1(1-\alpha)$, resp. $(u_{1-\alpha/2})^2$. Obě křivky vypadají stejně paralelně.

V situaci (2) a (3) postupujeme analogicky jako v situaci (1). Ve (3) situaci potřebujeme vypočítat hodnoty $(1-\alpha/2)$ -kvantilu gamma rozdělení s parametry $\frac{n}{2}$ (shape) a 2 (scale). K tomu použijeme funkci *qgamma()*.

- (1) *alpha <- seq(...)* ... posl. *d* od 0.01 do 0.99 s delší minimálně *d*=512
yfit <- qchisq(1-alpha, ...) ... hodnoty kvantili $\chi^2_1(1-\alpha)$ nad posl. *alpha* (*d*=512)
zfit <- qnorm(1-alpha/2, ...)^2 ... druhé močiny kvantili $u_{1-\alpha/2}$ nad posl. *alpha* (*d*=512)
par(mar=...) ... stráže grafu 4,4,2,1
plot(alpha, yfit, ...) ... graf s křivkou kvantili $\chi^2_1(1-\alpha)$ (např. modrá plná křivka)
lines(alpha, zfit, ...) ... křivka druhých močin kvantili $u_{1-\alpha/2}$ (např. červená průřezovaná křivka)
mtext(expression(alpha), ...) ... popisek osy x (α)
legend(...) ... legenda
- (2) *n <- ...* zadání hodnoty parametru *n*
yfit <- qf(...) ... hodnoty kvantili $F_{1,n}(1-\alpha)$ nad posl. *alpha* (*d*=512)
zfit <- qt(...)^2 ... druhé močiny kvantili $t_n(1-\alpha/2)$ nad posl. *alpha* (*d*=512)
plot(alpha, yfit, ...) ... graf s křivkou kvantili $F_{1,n}(1-\alpha)$ (např. modrá plná křivka)
lines(alpha, zfit, ...) ... křivka druhých močin kvantili $t_n(1-\alpha/2)$ (např. červená průřezovaná křivka)
mtext(...) ... popisek osy x (α)
legend(...) ... legenda
- (3) *yfit <- qchisq()* ... hodnoty kvantili $\chi^2_n(1-\alpha)$ nad posl. *alpha* (*d*=512)
zfit <- qgamma(1-alpha, shape=n/2, scale=2) ... hodnoty kvantili $\Gamma_{\frac{n}{2}, 2}(1-\alpha)$
plot(...) ... graf s křivkou kvantili $\chi^2_n(1-\alpha)$ (např. modrá plná křivka) nad posl. *alpha* (*d*=512)
 \vdots
legend(...) ... legenda

Závěr: Z vykreslených grafů vidíme že (1) $\chi^2_1(1-\alpha)$ a $(u_{1-\alpha/2})^2$ jsou identické; (2) $F_{1,n}(1-\alpha)$ a $(t_n(1-\alpha/2))^2$ jsou identické; (3) $\chi^2_n(1-\alpha)$ a $\Gamma_{\frac{n}{2}, 2}(1-\alpha)$ jsou identické, tedy, že všechny tři normativní skutiky platí.

2.4

V tomto příkladu si graficky ověříme, že pokud náhodná veličina $X \sim N(\mu, \sigma^2)$, potom pro výškový rozptyl S_n^2 , resp. pro výškovou sm. odchylku S_n platí:

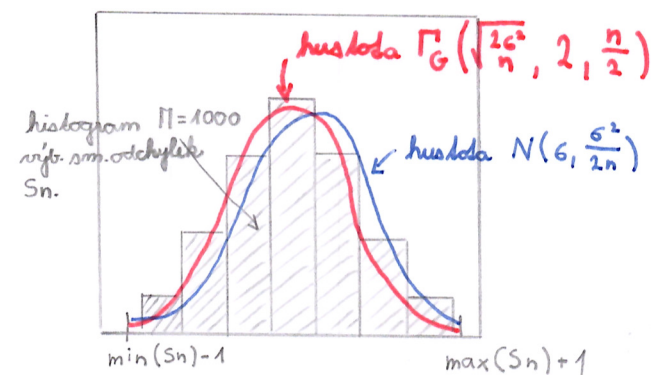
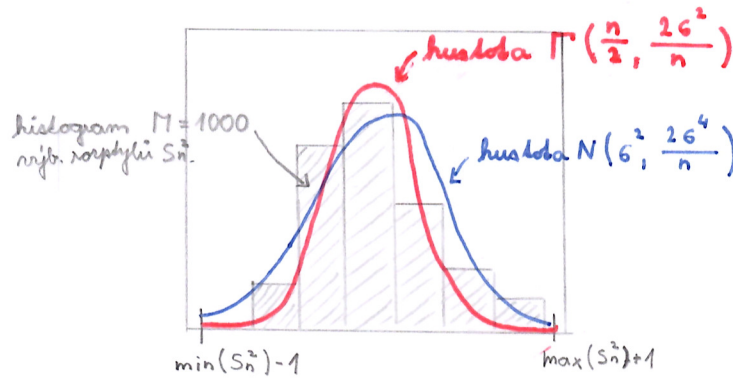
$$(1) S_n^2 \sim \Gamma\left(\frac{n}{2}, \frac{2\sigma^2}{n}\right) \text{ exaktě}$$

$$(3) S_n \sim \Gamma_G\left(\sqrt{\frac{2\sigma^2}{n}}, 2, \frac{n}{2}\right) \text{ exaktě}$$

$$(2) S_n^2 \sim N\left(\sigma^2, \frac{2\sigma^4}{n}\right) \text{ asymptoticky}$$

$$(4) S_n \sim N\left(\sigma, \frac{\sigma^2}{2n}\right) \text{ asymptoticky.}$$

$\Gamma\left(\frac{n}{2}, \frac{2\sigma^2}{n}\right)$ je gamma rozdělení s parametry $\text{shape} = \frac{n}{2}$ a $\text{scale} = \frac{2\sigma^2}{n}$. $\Gamma_G\left(\sqrt{\frac{2\sigma^2}{n}}, 2, \frac{n}{2}\right)$ je zobrazené gamma rozdělení s parametry $\text{scale} = \sqrt{\frac{2\sigma^2}{n}}$, $d = 2$ a $k = \frac{n}{2}$.



Nejprve naprogramujeme funkci `rozdeleni_Sn2_Sn()`, která pro zadání σ a n vrátí dvojici výsledků makrosnímých histogramů. Pomocí funkce `makonec` vygenerujeme animaci. Hustodu rozdělení $\Gamma_{\frac{n}{2}, \frac{2\sigma^2}{n}}$ vypočítáme pomocí funkce `dgamma()`. Hustodu rozdělení $\Gamma_G\left(\sqrt{\frac{2\sigma^2}{n}}, 2, \frac{n}{2}\right)$ vypočítáme pomocí funkce `dgengamma.stacy()` z knihovny `VGAM`.

```
Var.n <- function(x) {
    funkce, jejímž vstupem je náhodný výběr  $X_1, \dots, X_n$  a odpovídající výběr rozptylu  $S_n^2$ .
    S.n <- length(...) ... délka vektoru x
    Sn2 <- ...  $\frac{1}{n} \sum_{i=1}^n (x_i - \bar{x})^2$  ...  $\frac{1}{n} (\text{sum}((x - \text{mean}(x))^2))$ 
    return(...) ... vrátí hodnotu Sn2
}
```

```
rozdeleni_Sn2_Sn <- function(sigma, n, M=1000) {
    Sn2 <- replicate(M, Var.n(rnorm(n, 0, sigma)))
    Sn <- sqrt(...) ...  $\sqrt{Sn2}$ 
    x.Sn2 <- seq(...) ... posl. od min(Sn2) do max(Sn2) o délce 512
    x.Sn <- seq(...) ... posl. od min(Sn) do max(Sn) o délce 512
    y.e <- dgamma(...) ... vektor hodnot hustoty rozdělení  $\Gamma\left(\frac{n}{2}, \frac{2\sigma^2}{n}\right)$  nad posl. Sn2 (d=512)
    y.a <- dnorm(...) ... vektor hodnot hustoty rozdělení  $N\left(\sigma^2, \frac{2\sigma^4}{n}\right)$  -11- -11- ... vektor hodnot hustoty
    z.e <- VGAM:::dgengamma.stacy(xfit.Sn, scale =  $\sqrt{\frac{2\sigma^2}{n}}$ , d = ..., k = ...) ...  $\Gamma_G\left(\sqrt{\frac{2\sigma^2}{n}}, 2, \frac{n}{2}\right)$  nad posl. Sn (512)
    z.a <- dnorm(...) ... vektor hodnot hustoty rozdělení  $N\left(\sigma, \frac{\sigma^2}{2n}\right)$  nad posl. Sn (d=512)
```

par(mfrow = ..., mar = ...) ... \square , otevře 5,4,2,1

hist(Sn2, prob=T, ylim=c(0, as.numeric(max(y.e, y.a))+0.1),
výplň histogramu density=30, col=..., border=..., ...) ... histogram S_n^2

box(bty='o') ... rámeček okolo histogramu

lines(x.Sn2, y.e, ...) ... krivka hustoty $\Gamma\left(\frac{n}{2}, \frac{2\sigma^2}{n}\right)$

lines(x.Sn2, y.a, ...) ... krivka hustoty $N\left(\sigma^2, \frac{2\sigma^4}{n}\right)$

histogram
 $mtext(expression(S[n]^2), \dots)$... popisek o y osy (S_n^2)
 $mtext(bquote(paste(mu == 0, ', ', sigma^2 == .(sigma^2), ', ', n == .(n))), \dots)$... druhý popisek o y osy $(\mu=0, \sigma^2=\dots, n=\dots)$
 $legend(\dots)$... legenda

Sn
 $hist(Sn, prob = \dots, ylim = c(0, as.numeric(max(zfit.e, zfit.a)) + 0.1), density = \dots, col = \dots, border = \dots, \dots)$... histogram S_n
 $box(\dots)$... rámeček okolo grafu
 $lines(x.Sn, z.e, \dots)$... křivka hustoty $\Gamma_G(\sqrt{\frac{2\sigma^2}{n}}, 2, \frac{n}{2})$
 $lines(x.Sn, z.a, \dots)$... křivka hustoty $N(\sigma, \frac{\sigma^2}{n})$
 $mtext(expression(\dots), \dots)$... popisek o y osy (S_n)
 $mtext(bquote(paste(\dots)), \dots)$... druhý popisek o y osy $(\mu=0, \sigma^2=\dots, n=\dots)$
 $legend(\dots)$... legenda

}

$n \leftarrow seq(\dots)$... posloupnost $5, 10, 50, 100, 500, 1000$

$oopts \leftarrow ani.options()$

$ani.record(reset = T)$... nezmazání obrázků z paměti

$saveLatex(for(i in 1:length(n)){$ cyklus generující obrázky animace

$rozdeleni.Sn2.Sn(sigma = \dots, n = n[i])$
 }, \dots)

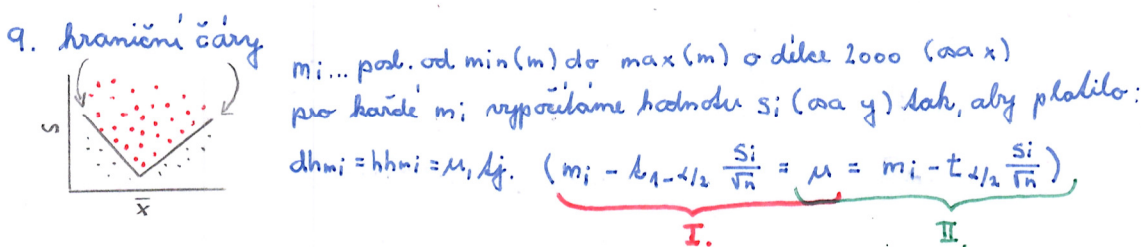
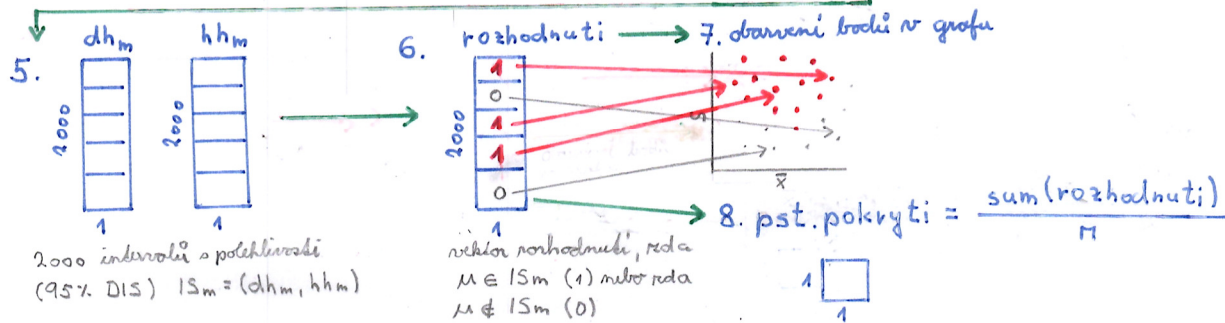
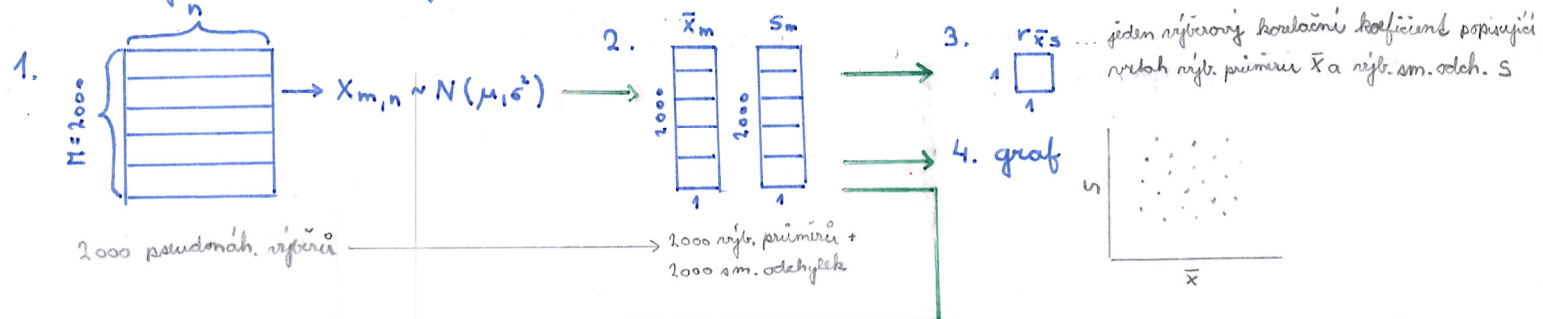
Závěr: Z uvedené animace pro S_n^2 je patrné, že reálné rozdělení $\Gamma(\frac{n}{2}, \frac{2\sigma^2}{n})$ popisuje rozdělení S_n^2 velmi dobře i pro malé rozsahy náhodných výběrů n . Pro $n \rightarrow \infty$ se rozdělení S_n^2 blíží k normálnímu rozdělení a tohy $S_n^2 \sim N(\sigma^2, \frac{2\sigma^4}{n})$ asymptoticky. Z grafu dál vidíme, jak pro $n \rightarrow \infty$ se křivky obou hustot čím dál více jdou druhé podstatě.

Z animace pro S_n je patrné že reálné rozdělení $\Gamma_G(\sqrt{\frac{2\sigma^2}{n}}, 2, \frac{n}{2})$ popisuje rozdělení S_n velmi dobře i pro malé rozsahy náh. výběrů n . Pro $n \rightarrow \infty$ se rozdělení S_n svarem blíží k normálnímu rozdělení $N(\sigma, \frac{\sigma^2}{n})$. Pro $n \rightarrow \infty$ se také křivky obou hustot výjimečně čím dál více podobají, a tohy pro $n \rightarrow \infty$ se $S_n \sim N(\sigma, \frac{\sigma^2}{n})$, tj. $S_n \xrightarrow{A} N(\sigma, \frac{\sigma^2}{n})$.

Pomáckha: Asymptotické rozdělení S_n^2 i S_n se praxi často používáme, protože normální rozdělení je jednodušší, než Γ , resp. Γ_G rozdělení a má skvělé vlastnosti. Z malost reálných rozdělení S_n^2 a S_n je však také velmi určitá, nicméně často opomíjíme.

V tomto příkladu si graficky ověříme nerávnost parametrů μ a σ^2 normálního rozdělení $N(\mu, \sigma^2)$. Pomocí grafu si také rozebratme pravděpodobnost pokrytí 95%. Waldova empirického DIS pro μ když σ^2 nemáme. Nerávnost μ a σ^2 a ps. pokrytí 95%. DIS rozhodujeme nejprve za předpokladu, že $X \sim N(\mu, \sigma^2)$. Nakonec budeme rýsovat, zda a případně jak se situace změní, pokud bude homogenní normální rozdělení $N(150, 10^2) \approx 10\%$ nečistoty rozdělením $N(150, 20^2)$, tj. normálním rozdělením se stejnou sčítavou hodnotou, ale vyšším rozptylem.

Příklad vyřešíme v následujících krocích (postup pro $n=5$; $X \sim N(\mu, \sigma^2)$):



$$\text{I. } m_i - b_{1-\alpha/2} \frac{s_i}{\sqrt{n}} = \mu$$

$$s_i = \frac{\mu - m_i}{t_{1-\alpha/2}} \sqrt{n}$$

$$\text{II. } m_i - t_{\alpha/2} \frac{s_i}{\sqrt{n}} = \mu$$

$$s_i = \frac{\mu - m_i}{t_{\alpha/2}} \sqrt{n}$$

$$\Rightarrow s_i = \left| \frac{\mu - m_i}{t_{1-\alpha/2}} \sqrt{n} \right| = \left| \frac{\mu - m_i}{t_{\alpha/2}} \sqrt{n} \right|$$

Protože v rámci příkladu máme ryhodnosť nerávnost μ a σ^2 a aktuální ps. pokrytí 1-2 v různých situacích ((1) $X \sim N(\mu, \sigma^2)$; (2) $X \sim pN(\mu, \sigma^2) + (1-p)N(\mu, \sigma_2^2)$) x ((a) $n=5$; (b) $n=50$; (c) $n=100$), bude nejlepší rýsovit funkci pokryti(), která pro zadání $\mu, \sigma, \sigma_2, n, M, p$ a dle grafu s hodnotou rýsováho korel. koef. $r_{\bar{x},s}$ a aktuální ps. pokrytí 1-2.

Na nákladě rýsováho korel. koeficientu $r_{\bar{x},s}$ rozhodujeme pro každou situaci nerávnost meri μ a σ^2 .

Nakonec pro každou situaci porovnáme hodnotu aktuální ps. pokrytí (1-2) s nominální ps. pokrytí (1-2) = 0.95 Waldova 95% empirického DIS pro μ když σ^2 nemáme.

	$pokryti \leftarrow function(mu = ... , sigma = ... , sigma2 = sigma, n = ... , M = ... , p = ...) \{$
dat generovaní	$X \leftarrow matrix(NA, \dots, \dots)$... připrava prázdné matice dimenze $M \times n$ $for(i in 1:M) \{$ cyklos: univerzální kód pro generování homogenních dat (pokud $\sigma = \sigma_2$) i heterogenních dat (směs) $bin \leftarrow rbinom(n, 1, p)$... posl. n hodnot $\sim Bin(1, p)$... $x = 1 \leftrightarrow \text{pali } p$ $X[i,][bin == 1] \leftarrow rnorm(sum(bin == 1), mu, sigma)$... na i-tý řádek matice X má pouze, kde $bin == 1$ vlož hodnoty $\sim N(\mu, \sigma^2)$ $X[i,][bin == 0] \leftarrow rnorm(sum(bin == 0), mu, sigma2)$... na i-tý řádek matice X má pouze, kde $bin == 0$ vlož hodnoty $\sim N(\mu, \sigma_2^2)$ $\}$ $m \leftarrow apply(X, 1, mean)$... vektor výb. průměrů \bar{x}_m ($d = 2000$) $s \leftarrow apply(...)$... vektor výb. sm. odchylek s_m ($d = 2000$) $r \leftarrow round(cor(...), digits = ...)$... výb. korel. koef. $cor(m, s)$ naokr. na 4 des. místa ($d = 1$) $dh \leftarrow \bar{x}_m - t_{n-1}(1-\alpha/2) \frac{s}{\sqrt{n}}$... vektor dolních hranic 95% DIS pro u hodpí σ^2 normále ($d = 2000$) $hh \leftarrow \bar{x}_m + t_{n-1}(1-\alpha/2) \frac{s}{\sqrt{n}}$... vektor horních hranic -/- -/- ($d = 2000$) $rozhodnuti \leftarrow (dh < mu) \& (mu < hh)$... vektor rozhodnutí, kde $\mu = 150 \in IS_m$, $m = 1, \dots, 2000$ ($d = 2000$) $pst.pokryti \leftarrow \sum(rozhodnuti) / M$... aktuální pst pokrytí $1 - \hat{\delta}$
podkladu	
příprava	
grafu	$par(...)$... slouje 5, 4, 2, 1 $\quad \quad \quad$ rechnává si povír abstrakce x a y $\quad \quad \quad$ osa x a y bude první pro $\quad \quad \quad$ následný grafy $plot(m, s, asp=T, xlim=c(130, 170), ylim=c(0, 30), cex=0.4, ...)$... graf; řeď body $\quad \quad \quad$ (\bar{x}_m, s_m) $mtext(expression(bar(x)), ...)$... popis obou x, y. $mtext(bquote(paste(n == .(n), ', ', r == .(r), ', ', 1 - alpha == .(1 - alpha), \quad \quad \quad ', ', 1 - widehat(alpha) == .(pst.pokryti), sep = '')), ...)$... druhý popis obou x $points(m[rozhodnuti == 1], s[rozhodnuti == 1], col = 'coral', cex = ...)$... červení obarvení bodů (\bar{x}_m, s_m), pro které platí, že $\mu \in IS_m$. $mi \leftarrow seq(...)$... posl. od $\min(m)$ do $\max(m)$ o délce 2000 $si \leftarrow \left \frac{mi - M}{t_{n-1}(1-\alpha/2)} \frac{s}{\sqrt{n}} \right $... vektor hodnot si odpovídající hodnotám m; tak, aby platilo $dh_{mi} = hh_{mi} = \mu$ $lines(mi, si, ...)$... hranicní čáry, kde $dh_{mi} = hh_{mi} = \mu$.
vykreslení	
}	

$X \sim N(\mu, \sigma^2)$, $n=5$: $pokryti(n=5)$... porovná funkci pokryti() k vykreslení grafu pro homogenní data ($n=5$)

$X \sim pN(\mu, \sigma^2) + (1-p)N(\mu, \sigma_2^2)$, $n=5$: $pokryti(sigma2=20, n=5)$... vykreslení grafu pro směs ($n=5$)

Z obou obrázků vidíme, že pro homogenní data i pro data s 10% půsíši hodnot s výším rozpylem jsou parametry μ a σ^2 nerovné. Vykreslené body jsou nahodile rozmištěny po plánu grafu a hodnota výb. korel. koeficientu je velmi blízka nule.

Z grafů dalej vidíme, že pro homogenní data i pro nadanou směs se hodnota aktuálního poli pokrytí ($1 - \hat{\delta}$) 95% Waldova empirického DIS pro u hodpí σ^2 normále potyguje okolo nominálního poli pokrytí ($1 - \delta$) = 0.95.

Jediný rozdíl, který u obou grafů pozorujeme, je, že v případě směsi jsou body z hlediska x/y více rozbarvení (mají větší rozpylel). To vysvětluje 10% půsíši dat s výším rozpylem.

Analogicky bychom vykreslili a vyhodnotili drožší grafy pro (b) $n=50$ a (c) $n=100$.

V kontextu příkladu si pomocí simulacní sestdie visualizujeme aktuální post pokrytí 95%. Waldova empirického DIS pro μ při známém σ^2 . Aktuální post pokrytí si ukážeme písmem na grafu s výrobenými hranicemi $M=100 \cdot 95\% = 95$ %. DIS. Hodnotu aktuální posti pokrytí proslužujeme ve třech různých situacích:

(1) u homogenních dat $X \sim N(\mu, \sigma^2)$;

(2) u dat $X \sim N(\mu, \sigma^2) + 10\%$ působení hodnot se stejnou střední hodnotou a rozdílným rozptylem, tj.
+ 10% hodnota $\sim N(\mu_1, \sigma_1^2)$;

(3) u dat $X \sim N(\mu, \sigma^2) + 10\%$ působení hodnot se stejným rozptylem a mírnější střední hodnotou, tj.
+ 10% hodnota $\sim N(\mu_2, \sigma_2^2)$.

Poznámka: Analogickou simulaci sestdie bývají mohly vykročit pro libovolný typ IS. (oboustranný, levostranný, pravostranný, 90%, 95%, 99%, ..., parametry $\mu, \sigma^2, \lambda, S, \mu_1 - \mu_2, \sigma_1^2 / \sigma_2^2, \dots$)

Rешení příkladu: Nejdříve vygenerujeme $M=100$ náh. výběrů. Z každého výběru vypočítáme náh. průměr \bar{x}_m , výběrovou sm. odchylku s_m a nahonec dolní hranici dh_m a horní hranici hh_m 95%. Waldova emp. DIS pro μ , když σ^2 známe. $IS = (dh, hh) = (m - u_{1-\alpha/2} \frac{\sigma}{\sqrt{n}}, m + u_{1-\alpha/2} \frac{\sigma}{\sqrt{n}})$. Dále vyhodíme vektor rozhodnutí, pro který platí, že rozhodnutí $= 1$, pokud $\mu = 5 \in IS_m$ a rozhodnutí $= 0$, pokud $\mu = 5 \notin IS_m$. Dále vypočítáme aktuální post pokrytí $1-\hat{\lambda}$ jako $(1-\hat{\lambda}) = \frac{I(\mu \in IS)}{M} = \frac{\sum_{m=1}^M (\text{rozhodnutí})}{M}$ a aktuální kl. návratnosti $\hat{\lambda} = 1 - (1-\hat{\lambda})$. Následně vykreslíme graf, kde každý IS bude reprezentován svislou svíčkou, působením IS_m , pro které $\mu = 5 \notin IS_m$, barevně oddělujeme. Nahonec stanovíme hranice 95% DIS pro aktuální post pokrytí $(1-\hat{\lambda})$ podle vzorce:

$$(dh_{1-\hat{\lambda}}, hh_{1-\hat{\lambda}}) = ((1-\hat{\lambda}) - u_{1-\alpha/2} \widehat{SE}, (1-\hat{\lambda}) + u_{1-\alpha/2} \widehat{SE}),$$

kde $\widehat{SE} = \sqrt{\frac{\hat{\lambda}(1-\hat{\lambda})}{M}}$. Hodnoty $(1-\hat{\lambda}), (1-\hat{\lambda}) - dh_{1-\hat{\lambda}}, hh_{1-\hat{\lambda}}$ vložíme do souborné tabulky.

Pro důležitost v rámci příkladu máme aktuální post pokrytí poskoušet v šesti situacích, vyhodíme funkci $DIS_mu()$, která pro zadání $n, \mu, \mu_2, \sigma, \sigma_2^2, M, p$ a z vykreslí graf a vrátí působenou soubornou tabulku výsledků. Šestici grafu a tabulek potom vygenerujeme pomocí této funkce.

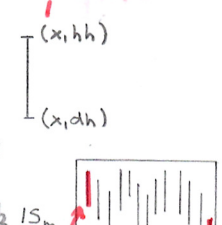
$DIS_mu \leftarrow \text{function}(n, mu = \dots, mu2 = mu, sigma = \dots, sigma2 = sigma, M = \dots, p = \dots, alpha = \dots) \{$

dat priprava	$X \leftarrow \text{matrix}(\dots)$... připrava NA matice dimenze $M \times n$ $\text{for}(i \text{ in } 1:M) \{$ cyklus; analogicky jako v příkladu 2.5 $\quad \text{bin} \leftarrow \text{rbinom}(\dots)$ $\quad X[i,][\dots] \leftarrow \text{rnorm}(\dots)$... $X \sim N(\mu, \sigma^2)$ $\quad X[i,][\dots] \leftarrow \text{rnorm}(\dots)$... $X \sim N(\mu_2, \sigma_2^2)$
soubor	$m \leftarrow \text{apply}(\dots)$... vektor náh. průměrů \bar{x}_m ($d=100$) $S \leftarrow \text{apply}(\dots)$... vektor náh. sm. odchylek s_m ($d=100$)
podklad	$dh \leftarrow m - u_{1-\alpha/2} \frac{\sigma}{\sqrt{n}}$... vektor dolních hranic 95% DIS pro u když σ^2 známe ($d=100$) $hh \leftarrow m + u_{1-\alpha/2} \frac{\sigma}{\sqrt{n}}$... vektor horních hranic ... ($d=100$)
6	$\text{rozhodnuti} \leftarrow dh < \mu < hh$... viz příklad 2.5

priprav

a.pst.pokryti <- $\frac{\Sigma(\text{rozhodnuti})}{n}$... aktuální pst pokrytí $(1-\hat{\lambda})$
a.alpha <- $1-(1-\hat{\lambda})$... aktuální bl. výpramnosti $\hat{\lambda}$
 $x \leftarrow 1:M$... diskrétní počtu pravd. čísel $1, 2, 3, \dots, 99, 100$

par(...).okraje $\frac{4}{5}$
plot(x, dh, type = ..., ylim = c(min(dh), max(hh)), xlab = '...',
ylab = expression(...), ...) ... příprava právního grafu
mtext(bquote(...), ...) ... popisek osy x ... $1-\hat{\lambda} = \dots$
mtext(paste(...), ...) ... druhý popisek osy x ... $n = \dots$
segments(x, dh, x, hh, col = 'grey 40') ... dokreslení řidičích úseček IS_m
segments(x[rozhodnuti == 0], dh[rozhodnuti == 0], ...) ... obranení úseček IS_m , pro které
abline(h = mu) ... vodorovná čára v hodnotě $M = 5$



sohrnná tabulka

$SE \leftarrow \sqrt{\frac{2(1-\hat{\lambda})}{M}}$... standardní chyba \hat{SE} pst pokrytí $(1-\hat{\lambda})$
dh.alpha <- $1-\hat{\lambda}-u_{1-\alpha/2} \hat{SE}$... dolní hranice 95% DIS pro $(1-\hat{\lambda})$, tj. $dh_{1-\hat{\lambda}}$
hh.alpha <- $1-\hat{\lambda}-u_{\alpha/2} \hat{SE}$... horní hranice $-11 - 11$, tj. $hh_{1-\hat{\lambda}}$
tab <- data.frame(1-d, 1-h, dh1-h, hh1-h) ... sohrnná tabulka následků
return(...) ... návrat sohrnnou tabulku tab.

}

(1)

$X \sim N(5, 15)$, $n=5$: DIS_mu(n=5) ... použití funkce DIS_mu() pro vykreslení grafu a výpočet tabulky
 $X \sim N(5, 15)$, $n=1000$: DIS_mu(n=1000) ... pro homogenní data ($n=5$)
 $-11 - 11$ ($n=1000$)

Analogicky bychom vykreslili dvojice grafů ($n=5$; $n=1000$) pro každou směs.

Poznámka: Komentáře jednotlivých grafů všude nadále samostatné práce.

Nerapomíňte u každého grafu rozhodnutí, roda je DIS konservativní nebo liberální. Závěr uvádějte v řešení jako komentář v R-Skriptu (varianta.R) nebo slavní v. pdf souboru (varianta Rnw).